

NEWS

OF THE NATIONAL ACADEMY OF SCIENCES OF THE REPUBLIC OF KAZAKHSTAN
SERIES CHEMISTRY AND TECHNOLOGY

ISSN 2224-5286

Volume 1, Number 409 (2015), 65 – 71

**RESEARCH ON INFLUENCE OF SOME ORGANIC COMPOUNDS
(COANP, NPP, PNP) ON THE BEHAVIOR OF POLYMERS BASED
ON POLYIMIDES AND FULLERENE MOLECULES**

**M. Ye. Agelmenev, Z. M. Muldakhmetov, S. M. Bratukhin,
V. V. Polikarpov, M. M. Bukenov, G. S. Bektasova**

Institute of Organic Synthesis and Coal Chemistry, Karaganda, Kazakhstan.
E-mail: maxut@nursat.kz

Abstract. The paper presents the results of the computer modeling of the behavior of polymers based on polyimides, C60 fullerene molecule and organic molecules. It was found that the alloying of the polymer - fullerene molecule system with the organic molecules leads to the breakdown of polymer chains, as well as to their convergence. This allows to allocate donor-acceptor pairs in the space.

УДК 532.783:541.1:539.21:535.37

**ИССЛЕДОВАНИЯ ВЛИЯНИЯ НЕКОТОРЫХ ОРГАНИЧЕСКИХ
СОЕДИНЕНИЙ (COANP, NPP, PNP) НА ПОВЕДЕНИЕ ПОЛИМЕРОВ
НА ОСНОВЕ ПОЛИИМИДОВ И МОЛЕКУЛ ФУЛЛЕРЕНОВ**

**М. Е. Агельменев, З. М. Мулдахметов, С. М. Братухин,
В. В. Поликарпов, М. М. Буkenов, Г. С.Бектасова**

Институт органического синтеза и углехимии, Караганда, Казахстан

Аннотация. В работе представлены результаты компьютерного моделирования поведения полимеров на основе полиимидов, молекулы фуллеронов C60 и молекул органических соединений. Установлено, что легирование системы полимер – молекулы фуллерена органическими молекулами приводит как к процессам разрыва полимерных цепей, так и к их сближению. Это позволяет распределять донорно-акцепторные пары в пространстве.

При улучшении времен переключения нематических жидкокристаллических (ЖК) –ячеек, при создании донорно-акцепторной пары полимер – фуллерен [1–10] производится добавление органических добавок. Обладая повышенным дипольным моментом [9], новый комплекс приводит к увеличению поляризуемости системы, что вызывает более эффективное ее управление при приложении внешнего электрического или светового воздействия. В [10] показано, что комплекс органический донор – фуллерен выступает как активатор процесса самоорганизации ЖК системы, обуславливая более упорядоченную укладку молекул ЖК. При этом установлено на 2 порядка сокращение времени переключения структур.

Наличие полимерных цепей усиливают упорядоченность ЖК, в то же время молекулы фуллеренов ее ослабляют [11]. В этом смысле непонятна роль добавок в виде органических соединений, известных как COANP, NPP, PNP, при создании такой системы. Исследования поведения компонент такой системы при воздействии температуры в присутствии электрического поля представляет собой научный интерес.

Как показали наши квантово-химические исследования (GAMESS Job: Compute Properties RHF/3-21G: Basis Set – 3-21G, Method – HF, Wave Function – R) этих соединений, они обладают высокими значениями дипольных моментов (рисунок 1).

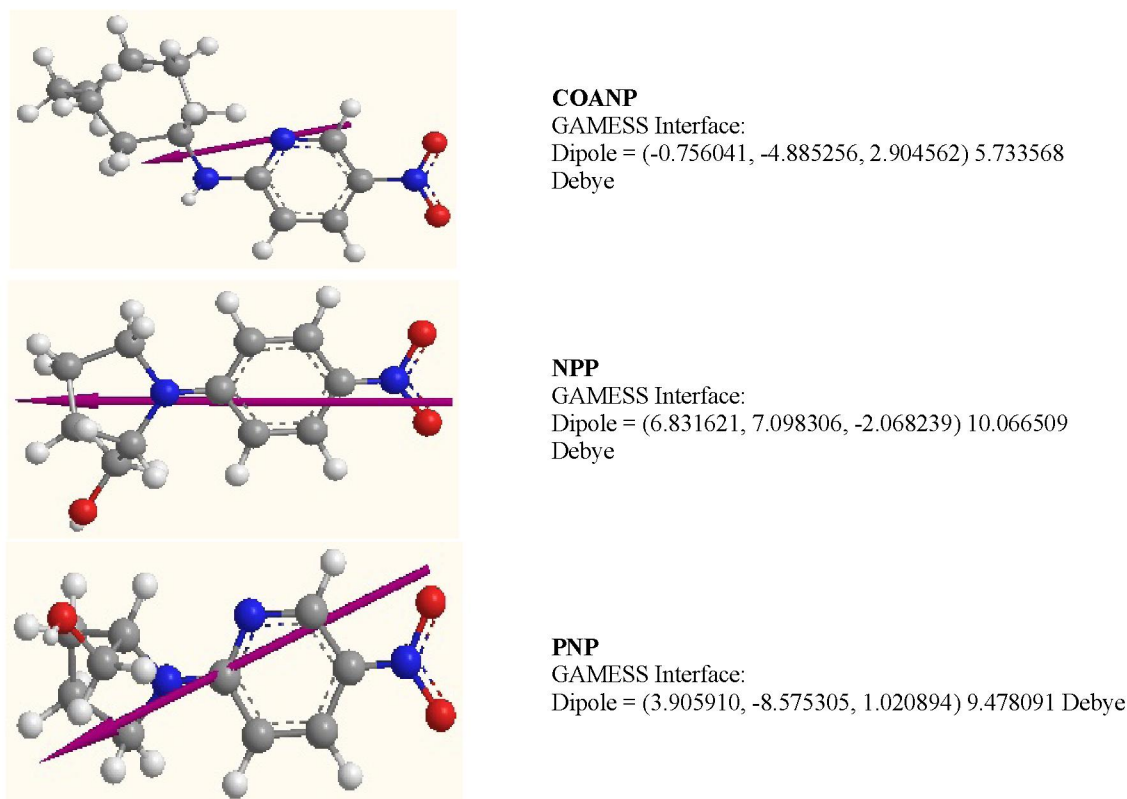
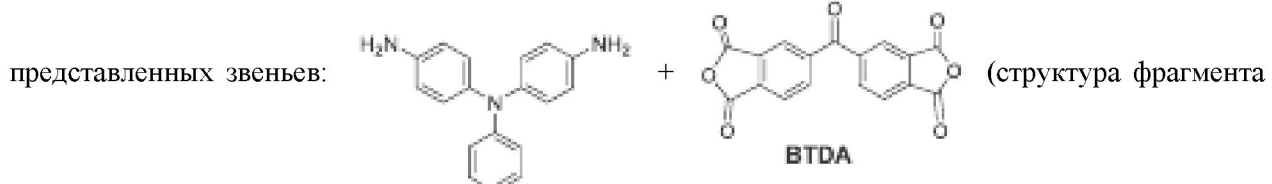


Рисунок 1 – Название, метод расчета, дипольный момент, структура и направление дипольного момента исследуемых молекул COANP, NPP, PNP

С целью выяснения влияния этих органических соединений на образование вышеуказанных добавок были проведены соответствующие исследования. В этой статье представлены результаты работы по созданию и компьютерному моделированию компонент системы, содержащей молекулы фуллеренов C₆₀, полимеров на основе полиимидов, содержащих *нитро*-группу и по одной-две молекуле органических соединений COANP, NPP, PNP (структура соединений оптимизирована методом MMFF94 из пакета программ ChemOffice 12).

Осуществлен подбор оптимальных параметров моделирования (давление, время отжига и т.д.). Созданы входные файлы, определяющие геометрию и силовое поле этих соединений.

Исходная система составляла 4 цепи полиимидов, каждая из которых состояла из 10



оптимизирована методом MMFF94 из пакета программ ChemOffice 12), 4 молекулы фуллеренов C₆₀, которые располагались по 2 молекулы между 1 и 2 цепью и между 3 и 4 цепями, 1 и 2 молекулы органических соединений (COANP, NPP, PNP) между 2 и 3 цепью полиимидов. Были запланированы 8 экспериментов (таблица 1).

Расположение компонент системы обусловлено дальнейшим моделированием с участием молекул ЖК, где кластеры составляют прямоугольные параллелепипеды размерами – 13x13x7 (ФЭК) и 14x14x7 (ФЭФ).

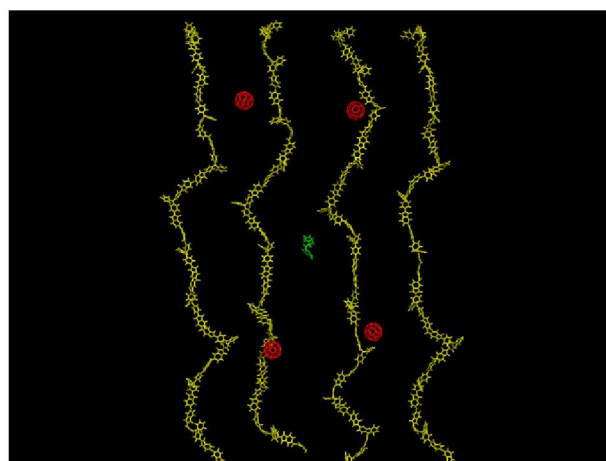
Таблица 1 – Нумерация проводимых экспериментов
в системе цепи полиимидов – молекулы фуллеренов – органические добавки

№	Описание эксперимента
1	4 цепи полиимидов, 4 молекулы C60, 1 молекула COANP в центре системы
2	4 цепи полиимидов, 4 молекулы C60, 1 молекула NPP в центре системы
3	4 цепи полиимидов, 4 молекулы C60, 1 молекула PNP в центре системы
4	4 цепи полиимидов, 4 молекулы C60, 2 молекулы COANP в центре системы
5	4 цепи полиимидов, 4 молекулы C60, 2 молекулы NPP в центре системы
6	4 цепи полиимидов, 4 молекулы C60, 2 молекулы PNP в центре системы
7	4 цепи полиимидов, 4 молекулы C60, по 1 молекуле COANP и PNP в центре системы
8	4 цепи полиимидов, 4 молекулы C60, по 1 молекуле COANP и NPP в центре системы

Расположение цепей относительно ЖК рядов 1) 3x1x1, 2) 6x1x1, 3) 9x1x1, 4) 12x1x1. Цепь полимера разворачивалась относительно ОY на 180°. Расстояния между цепями – x=2,4нм, между цепями и молекулами z=1нм (сверху). Расположение фуллеренов C60: 1) 4x4x2, 2) 4x9x2, 3) 11x4x2, 4) 11x9x2. Расположение 2 молекул (COANP, NPP, PNP): 1) 7x7x2 (в случае одной молекулы), 2) 7x8x2.

Для проведения моделирования поведения этих соединений был использован метод молекулярной динамики на основе программы GROMACS [12] версии 3.3.1 в приближении жидкого агрегатного состояния [12-15]. При моделировании использован NPT ансамбль. Радиусы отсечки дисперсионного и кулоновского взаимодействия составляли 2,0 нм. Были проведены последовательные отжиги в режиме нагрева. Время отжига при одной температуре составляло 10 пс, но при этом кластер располагался в одной ячейке, чем было реализовано жидкое агрегатное состояние системы, а значение напряженности электрического поля составляло 1×10^7 В/м и направлено перпендикулярно ОY и OZ. Направление полимерных цепей совпадало с осью ОY. Структура исходной системы представлена на рисунке 2.

Рисунок 2 – Вид исходной структуры исследуемой системы после отжига при T=325К



Анализ полученных результатов показал небольшие различия в изменении компонент по отношению друг к другу при изменении направления электрического поля. Поэтому в дальнейшем представлены результаты исследований при направлении электрического поля, перпендикулярного плоскости исходного кластера (OZ). Цепи обозначим m1, m2, m3, m4 в последовательности, указанной на рисунке 2. Расстояния между ними измерялись между их центрами тяжести.

Результаты исследований представлены на рисунках 3-12.

Как видно на рисунках 3-5, при расположении 1 молекулы органической добавки расстояние между цепями 2 и 3 особенно заметно изменилось. Так, в области мезофазы (T=340K) оно составило 3,382нм (COANP), 4,505нм (NPP), 2,648нм (PNP). Только в случае молекулы NPP расстояние между этими цепями возросло с ростом температуры.

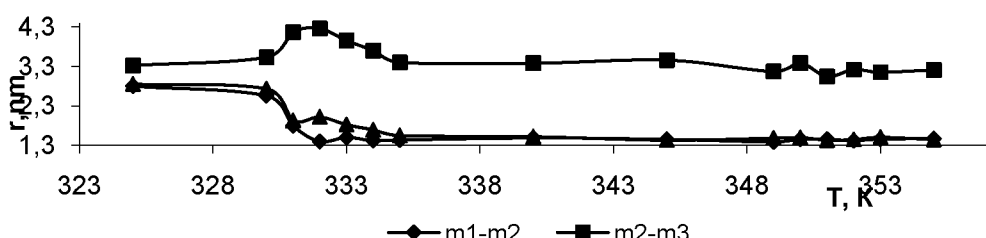


Рисунок 3 – Температурная зависимость расстояния между цепями в случае эксперимента 1 – COANP

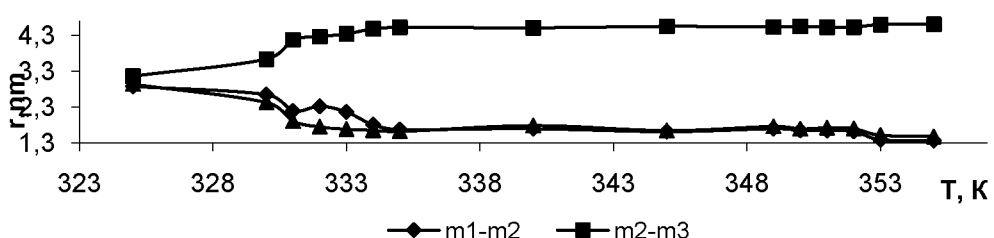


Рисунок 4 – Температурная зависимость расстояния между цепями в случае эксперимента 2 – NPP

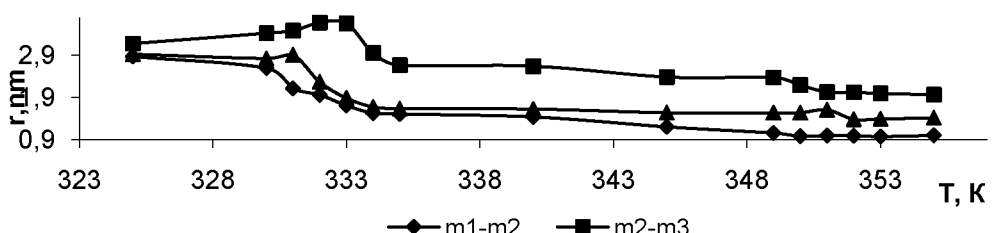


Рисунок 5 – Температурная зависимость расстояния между цепями в случае эксперимента 3 – PNP

Увеличение количества молекул органических добавок до 2-х (рисунки 6-8) приводит к наибольшему расстоянию в случае молекулы COANP (5,211 нм), понижает расстояние для молекулы NPP (2,148нм) и повышает для PNP (3,688нм). Столь сложное влияние, по-видимому, обусловлено значительными дипольными моментами (рисунок 1). Это может приводить как сильному притяжению, так и сильному отталкиванию этих молекул. Полимерные цепи оказываются «увлеченными» такими процессами. Изменение расстояния будет определять эффективность работы донорно-акцепторной пары. Поэтому правильный подбор состава такой системы должен учитывать концентрацию этих органических добавок. Их избыток будет уменьшать упорядоченность ЖК из-за возмущений, вносимых диполь-дипольным взаимодействием.

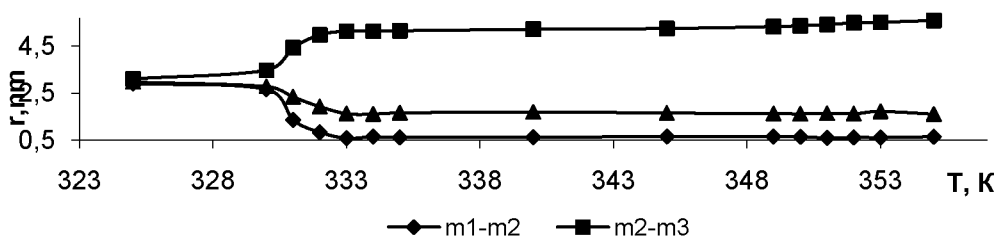


Рисунок 6 – Температурная зависимость расстояния между цепями в случае эксперимента 4 – COANP

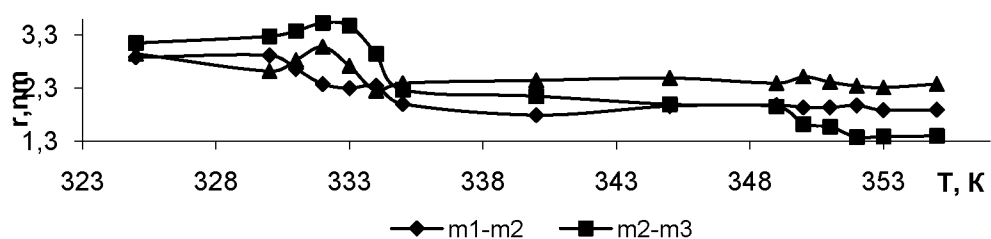


Рисунок 7 – Температурная зависимость расстояния между цепями в случае эксперимента 5 – NPP

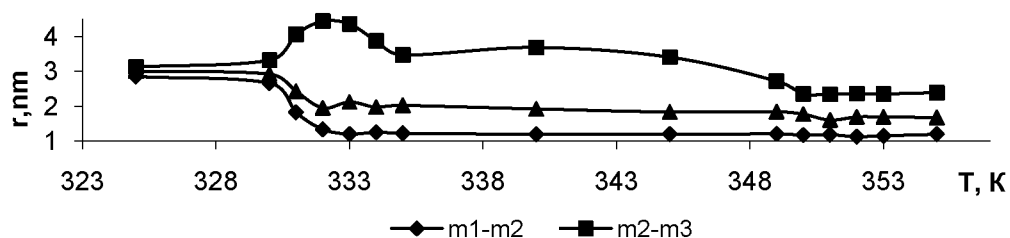


Рисунок 8 – Температурная зависимость расстояния между цепями в случае эксперимента 6 – PNP

Правомерность таких рассуждений подтверждается изменением между цепями при наличии по одной молекуле органических добавок разного вида (рисунки 9-10). Наиболее сильно уменьшается расстояние между цепями в случае COANP+PNP.

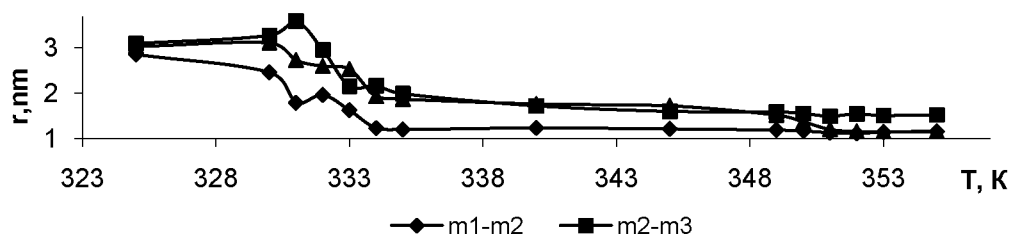


Рисунок 9 – Температурная зависимость расстояния между цепями в случае эксперимента 7 – COANP+PNP

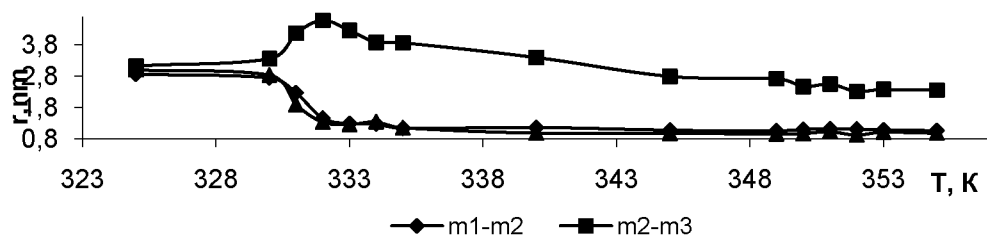


Рисунок 10 – Температурная зависимость расстояния между цепями в случае эксперимента 8 – COANP+NPP

Снимки кластеров (рисунки 11, 12) демонстрируют влияние различных органических добавок. Необходимо отметить, что в каждой части (рисунок 11) имеются молекулы фуллерена.

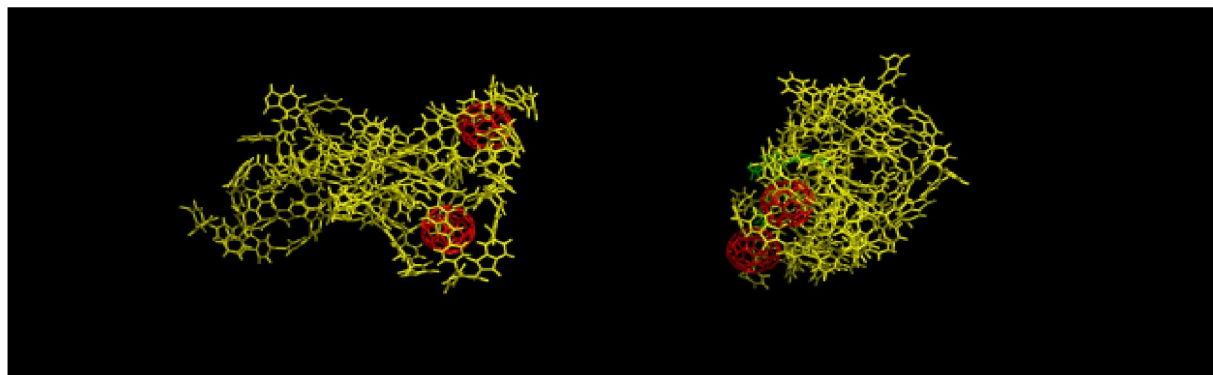


Рисунок 11 – Снимок системы в проекции ХОY в случае эксперимента 4 – COANP при T=340К

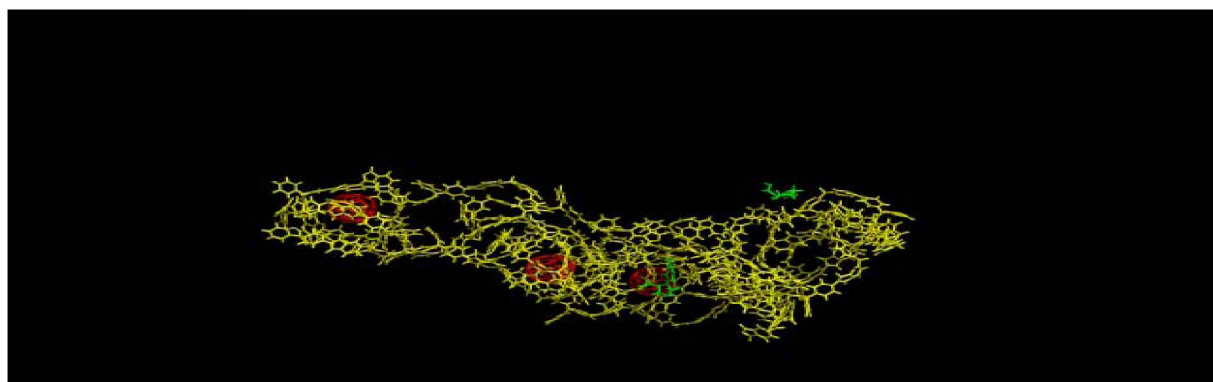


Рисунок 12 – Снимок системы в проекции ХОY в случае эксперимента 5 – NPP при T=340К

Таким образом, на основании проведенных исследований установлено, что легирование системы полимер – молекулы фуллерена органическими молекулами приводит как к процессам разрыва полимерных цепей, так и к их сближению. Это позволяет распределять донорно-акцепторные пары в пространстве.

ЛИТЕРАТУРА

- [1] Hosoda K., Tada R., Ishikawa M., Yoshino K. Effect of C₆₀ doping on electrical and optical properties of poly[(disilanylene)oligophenylenes] // Jpn. J. Appl. Phys. – 1997. – Pt 2, Vol. 36, N 3B. – P. L372-L375.
- [2] Itaya A., Sizzuki I., Tsuboi Y., Miyasaaka H. Photoinduced electron transfer processes of C₆₀-doped poly(Nvinylcarbazole) films as revealed by picosecond laser photolysis // J. Phys. Chem. B. – 1997. – Vol. 101, N 26. – P. 5118-5123.
- [3] Kamanina N.V. Reverse saturable absorption in fullerene-containing polyimides. Applicability of the Forster model // Opt. Commun. – 1999. – Vol. 162, N 4-6. – P. 228-232.
- [4] Kamanina N., Barrientos A., Leyderman A. et al. Effect of fullerene doping on the absorption edge shift in COANP // Molecular Materials. – 2000. – Vol. 13, N 1-4. – P. 275-280.
- [5] Lu Z., Goh S.H., Lee S.Y. et al. Synthesis, characterization and nonlinear optical properties of copolymers of benzylaminofullerene with methyl methacrylate or ethyl methacrylate // Polymer. – 1999. – Vol. 40. – P. 2863-2867.
- [6] Kamanina N.V., Bagrov I.V., Belousova I.M. et al. Fullerene-doped π -conjugated organic systems under infrared laser irradiation // Opt. Commun. – 2001. – Vol. 194, N 4-6. – P. 367-372.
- [7] Каманина Н.В. Светоиндуцированное изменение показателя преломления в системе полиимид-фуллерен // Оптика и спектроскопия. – 2001. – Т. 90, № 6. – С. 960-964.
- [8] Каманина Н.В., Сизов В.Н., Стаселько Д.И. Запись тонких фазовых голограмм в полимер-диспергированных жидкокристаллических композитах на основе фуллеренсодержащих π -сопряженных органических систем // Оптика и спектроскопия. – 2001. – Т. 90, № 1. – С. 5-7.
- [9] Ruani G., Biscarini M., Cavallini M. et al. Optical limiting in the near infrared: a new approach // Abstract booklet of 2nd Intern. Symp. on Optical Power Limiting, Venice (Italy), July 2-5, 2000. – P. 69.
- [10] Каманина Н.В. Фуллеренсодержащие диспергированные нематические жидкокристаллические структуры: динамические характеристики и процессы самоорганизации // Успехи физ. наук. – 2005. – Т. 175, № 4. – С. 445-454.
- [11] Agelmenov M.A., Muldakhmetov Z.M., Bratukhin S.M., Polikarpov V.V. The influence of polyimides on the nematic liquid crystals behaviour // 5th Intern. Scien.Conf. “Theoretical and experimental chemistry”, academician E. A. Buketov Karaganda State University, September 24-27, 2014, Karaganda. P. 24.

- [12] Van der Spoel D., Lindahl E., Hess B., van Buuren A.R., Apol E., Meulenhoff P.J., Tieleman D.P., Sijbers A.L.T.M., Feenstra K.A., van Drunen R. and Berendsen H.J.C. GROMACS User Manual version 3.3.1, www.GROMACS.org
- [13] Agelmenov M.E., Muldakhmetov Z.M., Bratukhin S.M., Pak V.G., Polikarpov V.V., Yakovleva O.A. The dynamics of some nematic liquid crystals // Mol. Crys. Liq. Cryst. – 2008. – Vol. 494. – P. 339-352.
- [14] Агельменев М.Е., Братухин С.М., Мулдахметов З.М., Поликарпов В.В. Моделирование мезогенной системы в жидкокристаллическом состоянии // Ж. физ. хим. – 2010. – Т. 84, № 7. – С. 1280-1284.
- [15] Agelmenov M.E. The modeling with free boundary // Mol. Cryst. Liq. Cryst. – 2011. – Vol. 545, N 1. – P. 190-203.

REFERENCES

- [1] Hosoda K., Tada R., Ishikawa M., Yoshino K. Effect of C₆₀ doping on electrical and optical properties of poly[(disilanylene)oligophenylenes]. Jpn. J. Appl. Phys. 1997. Pt 2, Vol. 36, N 3B. P. L372-L375.
- [2] Itaya A., Sizzuki I., Tsuboi Y., Miyasaaka H. Photoinduced electron transfer processes of C₆₀-doped poly(*N*-vinylcarbazole) films as revealed by picosecond laser photolysis. J. Phys. Chem. B. 1997. Vol. 101, N 26. P. 5118-5123.
- [3] Kamanina N.V. Reverse saturable absorption in fullerene-containing polyimides. Applicability of the Forster model. Opt. Commun. 1999. Vol. 162, N 4-6. P. 228-232.
- [4] Kamanina N., Barrientos A., Leyderman A. et al. Effect of fullerene doping on the absorption edge shift in COANP. Molecular Materials. 2000. Vol. 13, N 1-4. P. 275-280.
- [5] Lu Z., Goh S.H., Lee S.Y. et al. Synthesis, characterization and nonlinear optical properties of copolymers of benzylaminofullerene with methyl methacrylate or ethyl methacrylate. Polymer. 1999. Vol. 40. P. 2863-2867.
- [6] Kamanina N.V., Bagrov I.V., Belousova I.M. et al. Fullerene-doped π -conjugated organic systems under infrared laser irradiation. Opt. Commun. 2001. Vol. 194, N 4-6. P. 367-372.
- [7] Kamanina N.V. Light-induced refractive index change in the polyimide-fullerene. Optics and Spectroscopy. 2001. Vol. 90, N 6. P. 960-964. (in Russ.).
- [8] Kamanina N.V., Sizov V.N., Staselko D.I. Record fine phase holograms in the polymer-dispersed liquid crystal composites based on fullerene π -conjugated organic systems. Optics and Spectroscopy. 2001. Vol. 90, N 1. P. 5-7. (in Russ.).
- [9] Ruani G., Biscarini M., Cavallini M. et al. Optical limiting in the near infrared: a new approach. Abstract booklet of 2nd Intern. Symp. on Optical Power Limiting, Venice (Italy), July 2-5, 2000. P. 69.
- [10] Kamanina N.V. Fullerene-dispersed nematic liquid crystal structures: dynamic characteristics and self-organization processes. Advances of phys. sciences. 2005. Vol. 175, N 4. P. 445-454. (in Russ.).
- [11] Agelmenov M.A., Muldakhmetov Z.M., Bratukhin S.M., Polikarpov V.V. The influence of polyimides on the nematic liquid crystals behaviour. 5th Intern. Scien.Conf. "Theoretical and experimental chemistry", academician Ye.A. Buketov Karaganda State University, September 24-27, 2014, Karaganda. P. 24.
- [12] Van der Spoel D., Lindahl E., Hess B., van Buuren AR, Apol E., Meulenhoff PJ, Tieleman DP, Sijbers ALTM, Feenstra KA, van Drunen R. and Berendsen HJC GROMACS User Manual version 3.3.1, www.GROMACS.org
- [13] Agelmenov M.Ye., Muldakhmetov Z.M., Bratukhin S.M., Pak V.G., Polikarpov V.V., Yakovleva O.A. The dynamics of some nematic liquid crystals. Mol. Crys. Liq. Cryst. 2008. Vol. 494. P. 339-352.
- [14] Agelmenov M.Ye., Bratukhin S.M., Muldakhmetov Z.M., Polikarpov V.V. Modeling mesogenic system in the liquid state. Jour. Phys. chem. 2010. Vol. 84, N 7. P. 1280-1284. (in Russ.).
- [15] Agelmenov M.Ye. The modeling with free boundary. Mol. Cryst. Liq. Cryst. 2011. Vol. 545, N 1. P. 190-203.

ФУЛЛЕРЕН МОЛЕКУЛАЛАР ЖӘНЕ ПОЛИИМИД НЕГІЗІНДЕГІ ПОЛИМЕРЛЕРДІҢ СИПАТТЫЛЫҒЫНА КЕЙБІР ОРГАНИКАЛЫҚ ҚОСПАЛАРДЫҢ (COANP NPP PNP) ЭСЕРЛЕРИНІҢ ЗЕРТТЕУЛЕРИ

**М. Е. Агельменев, С. М. Братухин, З. М. Мулдахметов,
В. В. Поликарпов, М. М. Букенов, Г. С.Бектасова**

Аннотация. Берілген жұмыста, компьютерлік модельдеу нәтижелелері органикалық қоспалар, полимерид негізіндегі полимерлердің, C₆₀ фуллерен молекулалары бар нематикалық сұйық кристалдар қылыштары ұсынылған. Полимер жүйелерін легильдеу-фуллерен молекуласы органикалық молекуласымен, полимер тізбегінің ажырауы процессіне ғана емес және де жақындау процессиине алып келетіні анықталды. Бұл донорлы акцепторлық жұптардың көністіктегі үlestіруіне мүмкіндік береді.

Поступила 05.02.2015г.